

超高效液相色谱-串联质谱法同时测定当归9种真菌毒素

李玉芳^{1,2}, 焦洁^{1,2}, 黄铮^{1,2}, 肖峰³, 黄远飞³,
王青^{1,2}, 柳利龙⁴, 张环^{1,2}

(1. 甘肃省农业科学院畜草与绿色农业研究所, 甘肃 兰州 730070; 2. 甘肃省农业科学院农业质量标准与检测技术研究所, 甘肃 兰州 730070; 3. 文山三七数字本草检验中心有限公司, 云南 文山 663000; 4. 甘肃省农业科学院小麦研究所, 甘肃 兰州 730070)

摘要: 通过优化液相色谱条件和质谱条件等, 建立超高效液相色谱-串联质谱法(UPLC-MS/MS)测定当归中药材中9种真菌毒素的检测方法。样品经70%甲醇溶液超声提取, 经固相萃取柱净化; 采用流动相A: 2 mmol/L甲酸铵0.1%甲酸水溶液; 流动相B: 甲醇, 经C₁₈色谱柱分离后注入质谱仪, 电喷雾电离源(ESI)和多反应监测模式(MRM)进行检测, 基质外标法定量。经方法学验证, 9种真菌毒素标准曲线线性关系良好($R^2>0.995$) , 方法的检出限0.04~1.43 μg/kg, 定量限0.12~4.75 μg/kg, 高、中、低3个浓度加标回收率为77.8%~113.6%, 测定结果的相对标准偏差为0.2%~17.7%。该检测方法应用于72批当归样品9种真菌毒素同时检测, 2批当归样品检出真菌毒素, 检出率为2.8%, 样品中主要的污染真菌毒素为黄曲霉毒素B₁(AFTB₁)、黄曲霉毒素B₂(AFTB₂)、黄曲霉毒素G₁(AFTG₁)。本研究建立的方法具有预处理简便、经济等优点, 适用于当归样品9种真菌毒素的快速检测。

关键词: 当归; 中药材; 真菌毒素; 超高效液相色谱-串联质谱法; 方法验证

中图分类号: S567.23 **文献标志码:** A **文章编号:** 2097-2172(2024)10-0974-07

doi:10.3969/j.issn.2097-2172.2024.10.017

Simultaneous Determination of 9 Mycotoxins in *Angelica sinensis* by Ultra High Performance Liquid Chromatography-tandem Mass Spectrometry

LI Yufang^{1,2}, JIAO Jie^{1,2}, HUANG Zheng^{1,2}, XIAO Feng³, HUANG Yuanfei³,
WANG Qing^{1,2}, LIU Lilong⁴, ZHANG Huan^{1,2}

(1. Institute of Animal Husbandry, Pasture and Green Agriculture, Gansu Academy of Agricultural Sciences, Lanzhou Gansu 730070, China; 2. Institute of Agricultural Quality Standards and Testing Technology, Gansu Academy of Agricultural Sciences, Lanzhou Gansu 730070, China; 3. Wenshan Sanqi Digital Materia Medica Inspection Centre Co., Ltd., Wenshan Yunnan 663000, China;
4. Wheat Research Institute, Gansu Academy of Agricultural Sciences, Lanzhou Gansu 730070, China)

Abstract: An ultra-high performance liquid chromatography-tandem mass spectrometry (UPLC-MS/MS) method for the determination of 9 mycotoxins in *Angelica sinensis* was established by optimizing the conditions of liquid chromatography and mass spectrometry. The samples were extracted by ultrasonic extraction of 70% methanol solution and purified by solid phase extraction column. Using mobile phase A, i.e., 0.1% formic acid solution (containing 2 mmol/L ammonium formate), and mobile phase B, i.e., methanol, samples were separated by a C₁₈ column and injected into a mass spectrometer, detected by ESI and multiple reaction monitoring mode (MRM), and quantified by matrix external standard. The linear relationship between the standard curves of the nine mycotoxins was good ($R^2>0.995$). The detection limits were 0.04 to 1.43 μg/kg, and the quantification limits were 0.12 to 4.75 μg/kg. The recoveries of high, medium and low concentrations were 77.8% to 113.6%. The relative standard deviation of the results was 0.2% to 17.7%. The method was applied to the simultaneous detection of mycotoxins in 72 batches of *Angelica sinensis* samples. Mycotoxins were detected in 2 batches of *Angelica sinensis* samples, with a detection rate of 2.8%. The main mycotoxins in *Angelica sinensis* samples were AFTB₁, AFTB₂ and AFTG₁. The method established in this study has the advantages of simple pretreatment and economy, and is suitable for the rapid detection of 9 mycotoxins in *Angelica sinensis* samples.

Key words: *Angelica sinensis*; Chinese medicinal material; Mycotoxin; Ultra high performance liquid chromatography-tandem mass spectrometry; Method validation

收稿日期: 2024-08-16

基金项目: 甘肃省农业科学院农业科技创新专项(2020GAAS15); 甘肃省自然科学基金计划项目(22JR5RA764)。

作者简介: 李玉芳(1964—), 女, 甘肃武威人, 副研究员, 主要从事农产品质量安全控制与检测技术研究工作。Email: 1292153904@qq.com。

通信作者: 焦洁(1983—), 女, 甘肃通渭人, 主要从事农产品质量安全检测技术工作。Email: 14199634@qq.com。

当归为伞形科植物 *Angelica sinensis* (Oliv.) Diels 的干燥根, 具有较高的药用价值, 故有“十方九归”的美誉^[1]。当归具有补血活血、润肠通便、调经止痛等多重功效, 能够有效促进血液循环, 缓解疼痛, 并对肠道功能有良好的调节作用^[2]。现代药理研究表明, 当归多糖、阿魏酸和当归挥发油是当归发挥造血、免疫调节、抗肿瘤、肝保护、神经保护等作用的主要标志化合物。这些化合物的药理作用机制已经得到充分研究和证实, 并在功能食品开发、药物创新研发方面具有较大潜力^[3-4]。当归在甘肃省种植历史久远、品质卓越, 近年来种植面积稳定在 2.3 万 hm² 以上, 当归产业发展占全国出口总量的 90% 以上, 形成了较为完善的产业链和销售渠道。当归在种植、采集、加工、储藏及运输的多个环节极易遭受真菌污染, 真菌在当归内部滋生繁衍, 不仅可能破坏其珍贵的功效成分, 还可能产生多种真菌毒素污染, 进而对中药的整体质量和疗效造成严重影响^[5-7]。为有效管控中药真菌毒素污染, 部分国家和地区对中药材真菌毒素的含量实施了强制性规定, 并设立了严格的限量标准^[8-9]。

近年来, 超高效液相色谱-串联质谱法 (UPLC-MS/MS) 在中药材真菌毒素检测技术领域取得了显著进展, 并得到了广泛应用^[10-14]。该方法不仅提升了检测的灵敏度和准确性, 还显著提高了分析效率, 满足现代社会对中药材安全快速、准确检测的需求。本研究同时提取当归样品中 9 种真菌毒素, 采用固相萃取柱富集净化, 正离子和负离子切换模式和多反应监测 (MRM) 模式进行检测, 建立了 UPLC-MS/MS 同时检测当归中 9 种真菌毒素的方法, 以期为客观评价甘肃省当归药材的安全性提供技术支持和参考。

1 材料与方法

1.1 仪器与试剂

1.1.1 仪器 液相色谱-串联质谱仪 (1290 系列液相色谱仪、6470 系列三重四极杆串联质谱仪, 美国 Agilent 公司); 电喷雾电离源 (Electrospray ionization, ESI); 涡旋仪 (XW-80A, 上海沪西分析仪器厂); 纯水系统 (PALL/CascadaI, 美国 PALL 公司); 氮吹仪 (HGC-24A, 天津市恒奥科技发展有限公司); 超声波清洗器 (KQ5200B, 昆山市超声

仪器有限公司); HLB 固相萃取柱 (TC-MT3000, 德国拜发公司); HLB 固相萃取柱 [3 mL/200 mg, 微纯生物科技(广州)有限公司]; 分析天平 (AS220-R2, 苏州培科实验室仪器科技有限公司)。

1.1.2 试剂 黄曲霉毒素 B₁ (AFTB₁)、黄曲霉毒素 B₂ (AFTB₂)、黄曲霉毒素 G₁ (AFTG₁)、黄曲霉毒素 G₂ (AFTG₂) 均购自美国 Sigma-Aldrich 公司, 质量浓度分别为 1.0、0.3、1.0、0.3 μg/mL; 脱氧雪腐镰刀菌烯醇 (DON, 100 μg/mL) 购自坛墨质检科技股份有限公司; 伏马毒素 B₁ (FB₁, 100 μg/mL)、伏马毒素 B₂ (FB₂, 100 μg/mL)、赭曲霉毒素 A (OTA, 100 μg/mL)、玉米赤霉烯酮 (ZEN, 100 μg/mL) 均购自天津阿尔塔科技有限公司。甲醇 (色谱纯, 天津市康科德科技有限公司); 甲酸 (分析纯, 天津市风船化学试剂科技有限公司); 乙酸铵 (分析纯, 西陇科学股份有限公司)。

1.1.3 样品 来自甘肃省当归主产区岷县、陇西县、卓尼县、漳县、宕昌县、临潭县等地的农户、生产合作社、生产企业和中药材市场采集的当归样品, 共计 72 批次。

1.2 试验方法

1.2.1 样品前处理 取粉碎后过二号筛 ($850 \pm 29 \mu\text{m}$) 的当归粉末 5.00 g, 加入 70% 甲醇溶液 50.0 mL, 超声处理 30 min 后离心。吸取上清液 5.00 mL, 缓缓通过已提前依次用甲醇和 3 mL 水预活化的 HLB 柱, 直至柱中空气通过, 收集洗脱液。再以 3 mL 甲醇进行第二次洗脱, 并收集洗脱液, 将 2 次洗脱所得的液体合并, 于 40 °C 下利用氮气将其缓慢吹至剩余 2 mL, 用微孔滤膜 (0.22 μm) 过滤后得到上机液。取未经真菌毒素污染的当归样品, 按供试样品前处理方法制备当归空白基质溶液。

1.2.2 标准溶液 对照品储备溶液的制备: 分别精密吸取 AFTB₁、AFTB₂、AFTG₁、AFTG₂、DON、FB₁、FB₂、OTA、ZEN 标准溶液各 1.0 mL 至 10 mL 容量瓶中, 用甲醇稀释至刻度并混匀, 置于 -20 °C 避光条件下保存。混合对照品溶液的制备: 分别精密量取 AFTB₁ 10.00 mL、AFTB₂ 10.00 mL、AFTG₁ 10.00 mL、AFTG₂ 10.00 mL、DON 0.10 mL、FB₁ 0.10 mL、FB₂ 0.10 mL、OTA 0.20 mL、ZEN 0.05 mL 至 20 mL 容量瓶中, 加入甲醇稀释至刻度后混匀。混合标准溶液中各组分浓度为 AFTB₁

25.00 ng/mL、AFTB₂ 7.25 ng/mL、AFTG₁ 25.00 ng/mL、AFTG₂ 7.25 ng/mL、DON 500.00 ng/mL、FB₁ 50.00 ng/mL、FB₂ 60.00 ng/mL、OTA₁ 15.00 ng/mL、ZEN 30.00 ng/mL, -20 ℃避光条件下保存。混合对照溶液标准曲线的制备: 分别精密量取混合对照品溶液 0.16、0.20、0.32、0.40、0.80、1.00 mL, 氮气吹干, 加当归空白基质溶液 1.0 mL, 混匀后即得 AFTG₁、AFTB₁(4、5、8、10、20、25 ng/mL), AFTG₂、AFTB₂(1.16、1.45、2.32、2.90、5.80、7.25 ng/mL), DON(80、100、160、200、400、500 ng/mL), FB₁ (8、10、16、20、40、50 ng/mL), FB₂ (9.6、12.0、19.2、24.0、48.0、60.0 ng/mL), OTA (18.4、23.0、36.8、46.0、92.0、115.0 ng/mL), ZEN (4.8、6.0、9.6、12.0、24.0、30.0 ng/mL) 的系列标准曲线。

1.2.3 液相色谱条件 参考刘笑笑等^[15]的方法, 液相色谱柱为 Hypersil GOLDTM MaQ 色谱柱; 流动相 A: 2 mmol/L 甲酸铵 0.1% 甲酸水溶液; 流动相 B: 甲醇; 流速: 0.3 mL/min, 进样体积: 5 μL; 柱温: 25 ℃; 流动相梯度洗脱程序见表 1。

1.2.4 质谱条件 采用直接进样技术, 对 9 种目标化合物进行质谱条件的优化。分别在电喷雾离子化正模式(ESI⁺)和电喷雾离子化负模式(ESI⁻)下, 对这 9 种真菌毒素的保留时间和峰形进行全面扫描。参考刘笑笑等^[15]、李凤华等^[16]的方法, 检测方式为多反应监测(MRM); ESI 扫描方式为正、负离子扫描。离子源温度: 正离子模式

表 1 梯度洗脱程序

| 时间 /min | 流动相A /% | 流动相B /% |
|------------|------------|------------|
| 0~2.0 | 95 | 5 |
| 2.0~2.1 | 95~60 | 5~40 |
| 2.1~7.0 | 60~45 | 40~55 |
| 7.0~10.0 | 45~10 | 55~90 |
| 10.0~10.5 | 10~95 | 90~5 |
| 10.5~13.0 | 95 | 5 |

650 ℃、负离子模式 600 ℃; 气帘气: 40 psi; 电喷雾电压: 正离子模式 4 000, 负离子模式 -4 000; 柱流速 0.3 mL/min, 对照品溶液和当归样品溶液进样量均为 5 μL; 9 种真菌毒素质谱参数见表 2。

1.2.5 流动相 参考 2020 版《中华人民共和国药典》^[17]、刘笑笑等^[15]对比两组流动相对 9 种真菌毒素出峰的影响情况。

1.2.6 净化条件优化 分别使用微纯生物科技有限公司和德国拜发公司的 HLB 固相净化柱, 对 9 种真菌毒素 3 个水平浓度的样品进行净化处理, 每个浓度重复 3 次, 比较 9 种毒素加标样品的回收率。

1.2.7 方法学验证 以 1.2.2 中混合对照品系列标准曲线浓度样品, 按照 1.2.3 和 1.2.4 测定法进样测定, 以平均峰面积为纵坐标, 浓度为横坐标, 绘制标准曲线。据《中华人民共和国药典》2020 版四部通则 9101 分析方法验证指导原则要求, 把已知低浓度试样测出的信号与空白样品测出的信号进

表 2 9 种毒素的质谱参数

| 毒素 | 母离子 /(m/z) | 子离子 ^① /(m/z) | 碰撞能 /eV | 锥体电压 /V | 色谱保留时间 /min | 扫描模式 |
|-------------------|---------------|----------------------------|------------|------------|----------------|------------------|
| DON | 297.0 | 249.0*/231.0 | 12/18 | 14 | 4.264 | ESI ⁺ |
| AFTG ₂ | 331.1 | 313.1*/245.1 | 24/30 | 36 | 6.060 | ESI ⁺ |
| AFTG ₁ | 329.1 | 243.1*/311.1 | 28/20 | 36 | 6.476 | ESI ⁺ |
| AFTB ₂ | 315.1 | 287.1*/259.1 | 24/30 | 42 | 7.054 | ESI ⁺ |
| AFTB ₁ | 313.1 | 285.1*/241.1 | 20/35 | 37 | 7.491 | ESI ⁺ |
| FB ₁ | 722.3 | 334.3*/352.4 | 40/32 | 42 | 9.939 | ESI ⁺ |
| FB ₂ | 706.4 | 336.1*/318.4 | 38/38 | 40 | 10.824 | ESI ⁺ |
| OTA | 404.1 | 239.0*/358.1 | 27/13 | 21 | 10.118 | ESI ⁻ |
| ZEN | 317.2 | 175.1*/131.2 | 24/30 | 44 | 10.520 | ESI ⁻ |

①* 为定量离子。

行比较, 计算出能被可靠检测出的被测物质最低浓度或量。以信噪比为 3:1 时相应浓度或注入仪器的量确定检测限; 以信噪比为 10:1 时相应浓度或注入仪器的量确定定量限。

1.2.8 方法精密度和回收率 分别取当归空白基质溶液, 添加定量限、2 倍定量限和 4 倍定量限 3 个水平的 9 种真菌毒素混合标准溶液, 进行前处理, 测定其回收率和相对标准偏差(*RSD*), 重复 6 次。

1.2.9 实际样品的检测 使用优化后的条件, 对采集的 72 批当归样品 9 种真菌毒素同时进行检测。

2 结果与分析

2.1 质谱条件

9 种真菌毒素优化后的质谱参数见表 2。优化时 9 种真菌毒素的浓度见表 3, MRM 色谱图见图 1。可以看出, OTA、ZEN 在 ESI⁺ 扫描模式下响应

表 3 优化时 9 种真菌毒素的浓度

| 名称 | 浓度/(μg/L) |
|-------------------|-----------|
| DON | 400.0 |
| AFTG ₂ | 5.8 |
| AFTG ₁ | 20.0 |
| AFTB ₂ | 5.8 |
| AFTB ₁ | 20.0 |
| FB ₁ | 40.0 |
| OTA | 92.0 |
| ZEN | 24.0 |
| FB ₂ | 48.0 |

更好, 其余 7 种真菌毒素采用 ESI⁺ 模式进行扫描。

2.2 流动相

由图 2 可知, A 组流动相(10 mmol/L 醋酸铵溶液 - 甲醇)9 种真菌毒素中 FB₂ 不出峰, 其余成分

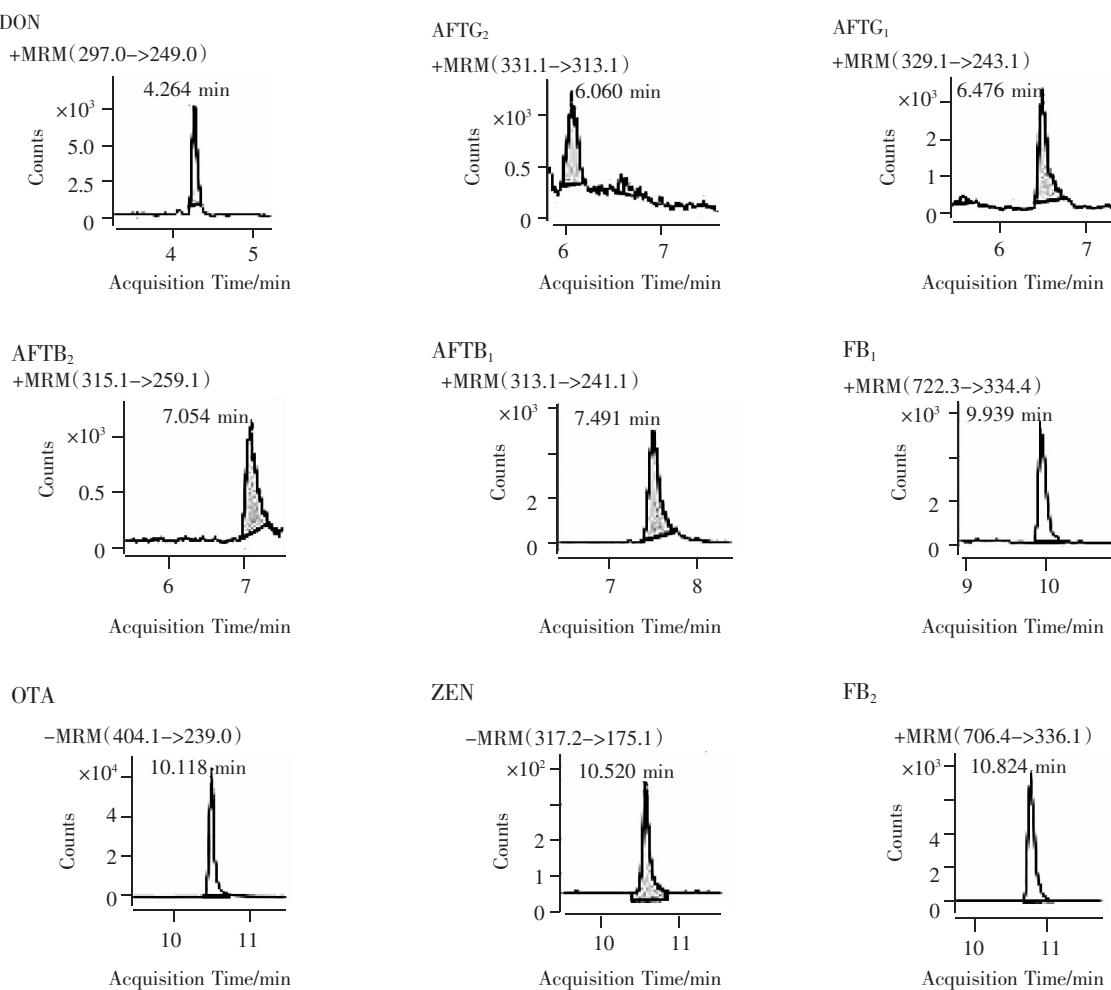


图 1 9 种真菌毒素的 MRM 色谱图

均可正常出峰; B组流动相(0.1%甲酸的2 mmol/L甲酸铵-甲醇)9种真菌毒素均可正常出峰。因此,本方法选择B组流动相。

2.3 净化条件

通过HLB柱(拜发)净化的样品较为澄清,通过HLB柱(微纯生物)净化的样品略浑浊,说明HLB柱(拜发)的净化效果略优于HLB柱(微纯生物)。从图3可以看出,FB₁和FB₂的检测受基质效应影响,通过HLB柱(微纯生物)净化的样品加标回收率略高于HLB柱(拜发),其余7个成分的两组样品加标回收率相近,符合2020版《中国药典》第四部通则9101分析方法验证指导原则要求,加样回收率为70%~125%。两种HLB柱都可以用于当归9种毒素的测定,HLB柱(拜发)是毒素专用净化柱,用于少量样品的检测;HLB柱(微纯生物)成本相对较低,可用于大批量样品的快速筛查和风险监测。

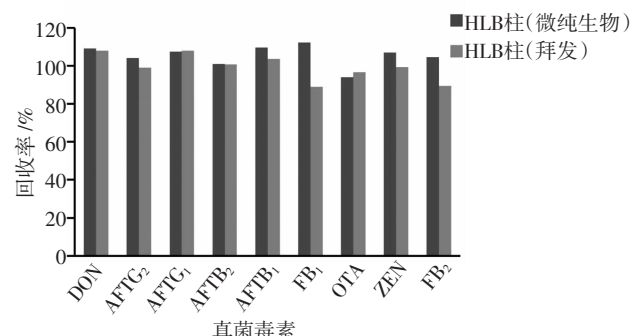


图3 不同固相净化柱对9种真菌毒素的回收率

2.4 方法学验证

2.4.1 工作曲线和检出限、定量限 由表4可以看出,在各自的线性范围内,9种真菌毒素具有良好的线性关系,相关系数R²均大于0.995 0。方法的检出限在0.04~1.43 μg/kg,定量限在0.12~4.75 μg/kg,均低于《中华人民共和国药典》真菌毒素的限量标准^[17],满足限量检出要求。

2.4.2 方法精密度和回收率 由表5可以看出,9

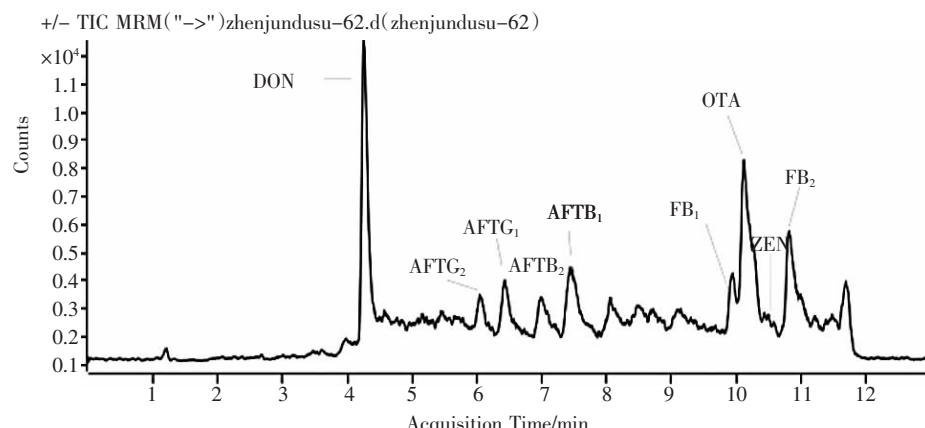


图2 9种真菌毒素总离子流图

表4 9种真菌毒素线性指数、检测阈值、量化界限

| 毒素 | 线性方程 | 相关系数 | 线性范围/ $\mu\text{g/L}$ | 检出限/ $\mu\text{g/kg}$ | 定量限/ $\mu\text{g/kg}$ |
|-------------------|----------------------------|--------------|-----------------------|-----------------------|-----------------------|
| DON | $y=172.2769x+1927.73342$ | $R^2=0.9991$ | 80.00~500.00 | 1.43 | 4.75 |
| AFTG ₂ | $y=1087.8121x+3449.451331$ | $R^2=0.9992$ | 1.16~7.25 | 0.23 | 0.77 |
| AFTG ₁ | $y=3053.6487x-1831.5790$ | $R^2=0.9990$ | 4.00~25.00 | 0.99 | 3.30 |
| AFTB ₂ | $y=3792.1633x-492.3403$ | $R^2=0.9990$ | 1.16~7.25 | 0.10 | 0.35 |
| AFTB ₁ | $y=4977.2364x+305.1876$ | $R^2=0.9995$ | 4.00~25.00 | 0.15 | 0.51 |
| FB ₁ | $y=2140.0510x+453.4497$ | $R^2=0.9995$ | 8.00~50.00 | 0.08 | 0.25 |
| OTA | $y=8246.2586x-10628.4123$ | $R^2=0.9990$ | 18.40~115.00 | 0.04 | 0.12 |
| ZEN | $y=263.3647x-140.5757$ | $R^2=0.9990$ | 4.80~30.00 | 0.16 | 0.52 |
| FB ₂ | $y=2749.3528x-1776.0167$ | $R^2=0.9990$ | 9.60~60.00 | 0.04 | 0.15 |

表 5 9 种真菌毒素加标回收率和精密度

| 毒素 | 添加水平 /($\mu\text{g}/\text{mL}$) | 回收率 /% | RSD /% | 毒素 | 添加水平 /($\mu\text{g}/\text{mL}$) | 回收率 /% | RSD /% |
|-------------------|-----------------------------------|--------|--------|-----------------|-----------------------------------|--------|--------|
| DON | 5.000 | 106.7 | 4.7 | FB ₁ | 1.0 | 91.7 | 17.7 |
| | 10.000 | 103.2 | 2.2 | | 2.0 | 91.0 | 8.6 |
| | 20.000 | 113.6 | 2.8 | | 4.0 | 84.1 | 4.0 |
| AFTG ₂ | 0.725 | 101.7 | 2.7 | OTA | 2.3 | 86.4 | 5.1 |
| | 1.450 | 96.7 | 4.7 | | 4.6 | 99.3 | 3.9 |
| | 2.900 | 98.7 | 0.5 | | 9.2 | 104.5 | 2.5 |
| AFTG ₁ | 2.500 | 100.6 | 5.0 | ZEN | 3.0 | 77.8 | 1.3 |
| | 5.000 | 111.1 | 4.9 | | 6.0 | 109.0 | 8.3 |
| | 10.000 | 111.7 | 8.1 | | 12.0 | 111.1 | 4.1 |
| AFTB ₂ | 0.725 | 103.5 | 1.0 | FB ₂ | 1.2 | 93.8 | 0.2 |
| | 1.450 | 97.2 | 4.0 | | 2.4 | 93.8 | 1.7 |
| | 2.900 | 101.3 | 3.6 | | 4.8 | 80.4 | 1.8 |
| AFTB ₁ | 2.500 | 102.1 | 2.4 | | | | |
| | 5.000 | 102.9 | 3.9 | | | | |
| | 10.000 | 105.6 | 3.3 | | | | |

种真菌毒素的加标回收率为 77.8%~113.6%，测定值的相对标准偏差 (RSD) 为 0.2%~17.7%，表明所建立的方法准确可靠。

2.5 样品的检测

通过对采集的 72 批当归样品检测发现，有 2 批当归样品检出真菌毒素，检出率为 2.8%，当归中主要的污染毒素为 AFTB₁、AFTB₂、AFTG₁。2 批次毒素检出 AFTB₁ 浓度分别为 3.3、3.4 $\mu\text{g}/\text{kg}$ ，AFTB₂ 分别为 7.2、7.1 $\mu\text{g}/\text{kg}$ ，AFTG₁ 分别为 10.4、9.6 $\mu\text{g}/\text{kg}$ 。2 批次当归 AFT 总量大于 10 $\mu\text{g}/\text{kg}$ ，超出中药材 AFT 总量 $\leq 10 \mu\text{g}/\text{kg}$ 的限量。

3 讨论与结论

在电喷雾质谱(ESI-MS)技术中，电离过程的溶液环境特性对分析结果的影响不容忽视^[18-19]。首先，不同的溶剂系统可能会改变化合物在色谱柱上的吸附和解吸行为，从而影响其在色谱图上的保留时间。其次，流动相的配比也会对峰形产生显著影响。流动相中不同组分的比例变化可能会改变色谱柱的洗脱能力，进而影响目标化合物在色谱图上的峰形。在电喷雾电离过程中，溶剂的极性和溶剂化能力对离子的形成和稳定至关重要。极性溶剂通常有助于形成更多的离子，而溶剂化能力的增强则有助于稳定这些离子，从而提高离子化效率。本研究通过样品净化条件，样品

前处理方法、色谱条件和质谱条件的优化，建立了一种利用固相萃取柱净化、UPLC-MS/MS 同时测定当归中 9 种真菌毒素的方法。与《中华人民共和国药典》和传统方法中使用免疫亲和柱相比，可较大程度降低检测成本。样品采用电喷雾电离源(ESI)和多反应监测模式(MRM)，基质匹配外标法定量。9 种真菌毒素标准曲线线性关系良好 ($R^2 > 0.9950$)，方法的检出限为 0.04~1.43 $\mu\text{g}/\text{kg}$ ，定量限为 0.12~4.75 $\mu\text{g}/\text{kg}$ ，高、中、低 3 个浓度加标回收率为 77.8%~113.6%，测定结果的相对标准偏差为 0.2%~17.7%。该方法操作简便，具有较好的净化效果、良好的加标回收率、较高的准确度和可靠性，可满足当归中真菌毒素的大通量快速筛查和准确定量，也为其他中药基质中多种真菌毒素含量的同时检测提供技术借鉴。我们采用此方法对甘肃省 72 份不同来源的当归中药材样本进行了系统检测，通过检测和数据分析，发现其中有 2.8% 的样本存在真菌毒素污染，且主要污染的真菌毒素为黄曲霉毒素类 (AFTB₁、AFTB₂、AFTG₁)。这一结果表明，尽管大多数中药材在采集和加工过程中能够保持良好的卫生标准，但仍有部分样本存在潜在的真菌毒素污染风险，本研究也为甘肃省当归中真菌毒素污染状况的调查提供了数据支持。

参考文献：

- [1] 高慧琴, 张志红, 晋 玲. 十大陇药(二)——当归[J]. 甘肃中医学院学报, 2013, 30(2): 2.
- [2] 杨董云, 吕丙钰, 薛华丽, 等. 新鲜当归采后青霉病病原菌分离鉴定、生物学特性及毒素积累[J]. 甘肃农业大学学报, 2022, 57(2): 74-81.
- [3] 屠雄彪. 当归不同药用部位微量元素含量分析[J]. 中国民族民间医药, 2011, 20(3): 43.
- [4] 王雪梅, 李应东. 当归有效成分及其药理作用的研究进展[J]. 甘肃中医, 2009, 22(11): 50-51.
- [5] 陈书珍, 季绪霞, 杨成德, 等. 甘肃省岷县当归病害调查及叶斑病田间药剂筛选[J]. 草业科学, 2017, 34(12): 2470-2475.
- [6] 刘震营, 张永清. 中药材黄曲霉毒素污染与防控[J]. 山东中医药大学学报, 2021, 45(4): 547-553.
- [7] 吴润松, 叶 聪, 胡绮萍, 等. 中药材真菌毒素污染检测研究进展[J]. 广东化工, 2024, 51(4): 76-79.
- [8] 刘丽娜, 李海亮, 李耀磊, 等. 中药真菌毒素质量控制概况、限量标准制定及有关问题的思考[J]. 中草药, 2023, 54(19): 6197-6207.
- [9] 王文珺, 孙双艳, 叶 金, 等. 我国现行真菌毒素检测标准概述[J]. 食品安全质量检测学报, 2019, 10(4): 837-847.
- [10] 刘 静, 朱叶梅, 董胜强, 等. 液相色谱-串联质谱法测定中药材中 11 种真菌毒素[J]. 化学分析计量, 2022, 31(10): 15-20.
- [11] 黄仁堂, 刘洪美, 关凯仪, 等. 液相色谱-串联质谱法同时检测中药中多种真菌毒素的研究进展[J]. 中华中医药刊, 2022, 40(12): 27-35; 281.
- [12] 范妙璇, 董娇娇, 王京辉, 等. QuEChERS-超高效液相-三重四极杆串联质谱测定白茅根中 16 种真菌毒素[J]. 中国中药杂志, 2017, 42(19): 3770-3775.
- [13] 毛 丹, 叶林链, 王少敏, 等. LC-MS/MS 法同时测定中药肉豆蔻中 12 种真菌毒素[J]. 中国药师, 2020, 23(7): 1311-1315.
- [14] 胡佳哲, 吴凤丹, 陈 俏, 等. 同位素标记-高效液相色谱-串联质谱法测定中药材中 8 种真菌毒素[J]. 中国卫生检验杂志, 2020, 30(5): 513-517.
- [15] 刘笑笑, 丁 辉, 吴福祥, 等. 杂质吸附固相萃取-液相色谱串联质谱法同时测定粮食中 15 种真菌毒素[J]. 粮油食品科技, 2021, 29(1): 155-167.
- [16] 李凤华, 李作华, 杨 丽, 等. 药食同源中药材中 16 种真菌毒素的测定与分析[J]. 食品工业科技, 2022, 43(9): 268-275.
- [17] 国家药典委员会. 中华人民共和国药典: 四部[M]. 北京: 中国医药科技出版社, 2020.
- [18] 林 华, 何 畅, 吴易君, 等. 超高效液相色谱-串联质谱法测定红曲中米酵菌酸[J]. 化学分析计量, 2024, 33(9): 38-42.
- [19] 洗燕萍, 陈立伟, 罗东辉, 等. UPLC-MS/MS 测定腐竹和米粉中的鸟洛托品[J]. 江南大学学报(自然科学版), 2012, 11(1): 78-82.